

Федеральное государственное бюджетное образовательное учреждение
высшего образования
УФИМСКИЙ ГОСУДАРСТВЕННЫЙ АВИАЦИОННЫЙ ТЕХНИЧЕСКИЙ УНИВЕРСИТЕТ
Факультет авиационных двигателей, энергетики и транспорта
Кафедра авиационной теплоэнергетики и теплотехники

Выпускная квалификационная работа

Анализ технико-экономической эффективности
КПГУ на базе паротурбинной установки
ПТ-135/165-130/15 и газотурбинной установки
ГТЭ-150 на переменных тепловых нагрузках

13.04.01 «Теплоэнергетика и теплотехника»

Выполнил: студент группы ТЭМ-206

Байбеков С. Г.

Руководитель: Цирельман Н.М.

Уфа 2017

Цели и задачи работы

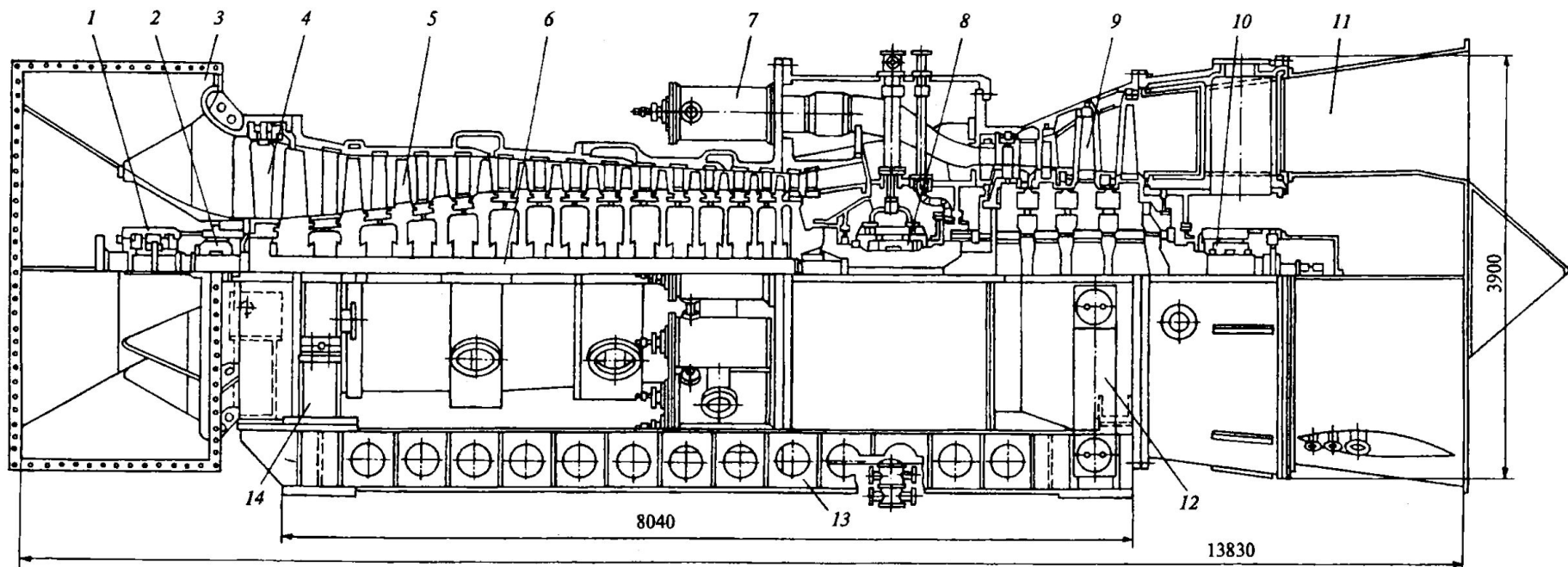
Цель:

- Расчет и анализ технико-экономической эффективности КПГУ на базе ПГУ ПТ-135/165-130/15 и ГТУ ГТЭ-150 на переменных тепловых нагрузках при температурах наружного воздуха $t_{\text{нар}} = +15, -5, -25^{\circ}\text{C}$.

Задачи:

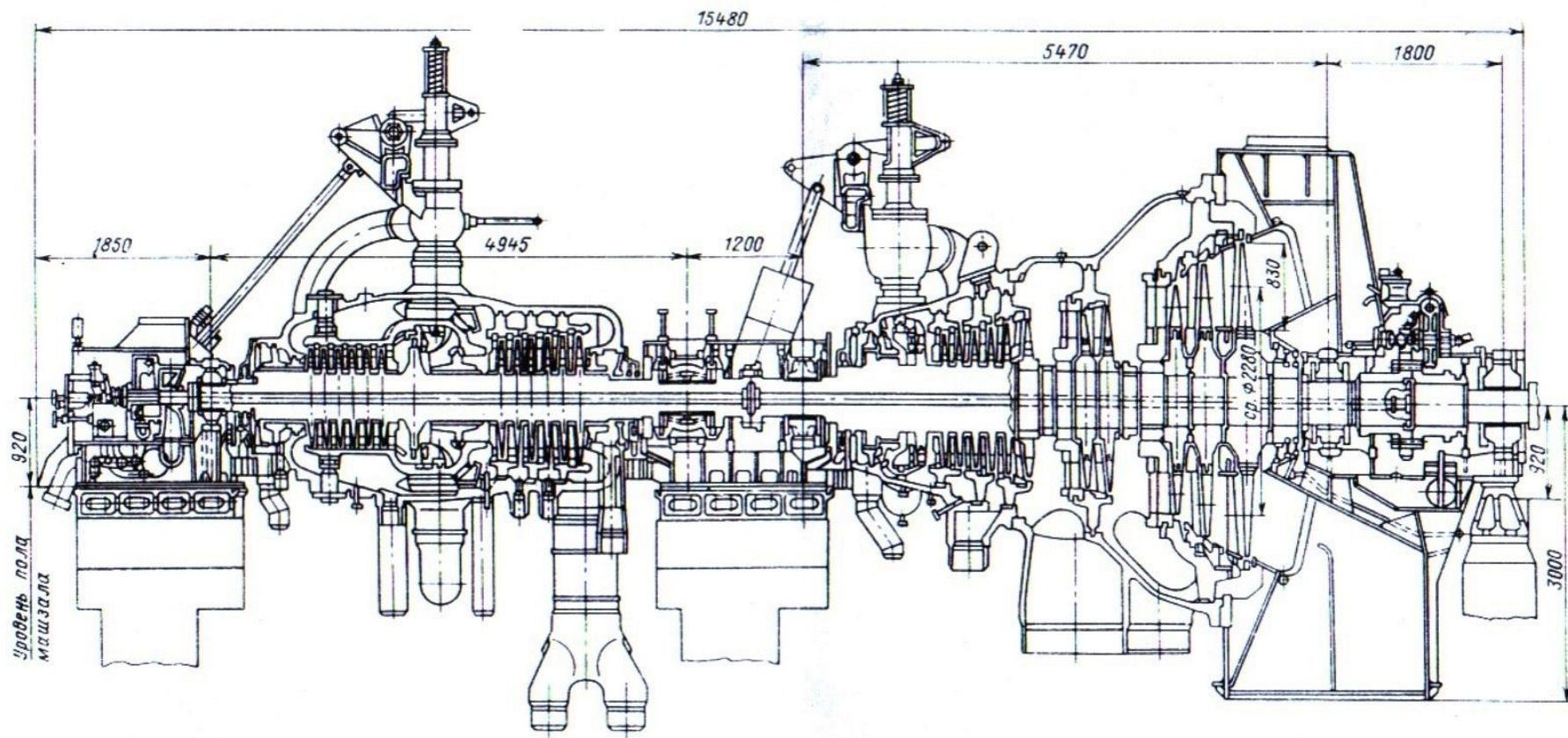
- Термодинамические расчеты ГТУ ГТЭ-150;
- Расчет принципиальной тепловой схемы ПТ-135/165-130/15 при температурах наружного воздуха $t_{\text{нар}} = +15, -5, -25^{\circ}\text{C}$;
- Разработка и расчет принципиальных схем ПГУ сбросного типа, ПГУ с одноконтурным КУ и ПГУ с двухконтурным КУ на переменных тепловых нагрузках;
- Сопоставительный анализ полученных результатов.

Продольный разрез газотурбинной установки ГТЭ-150

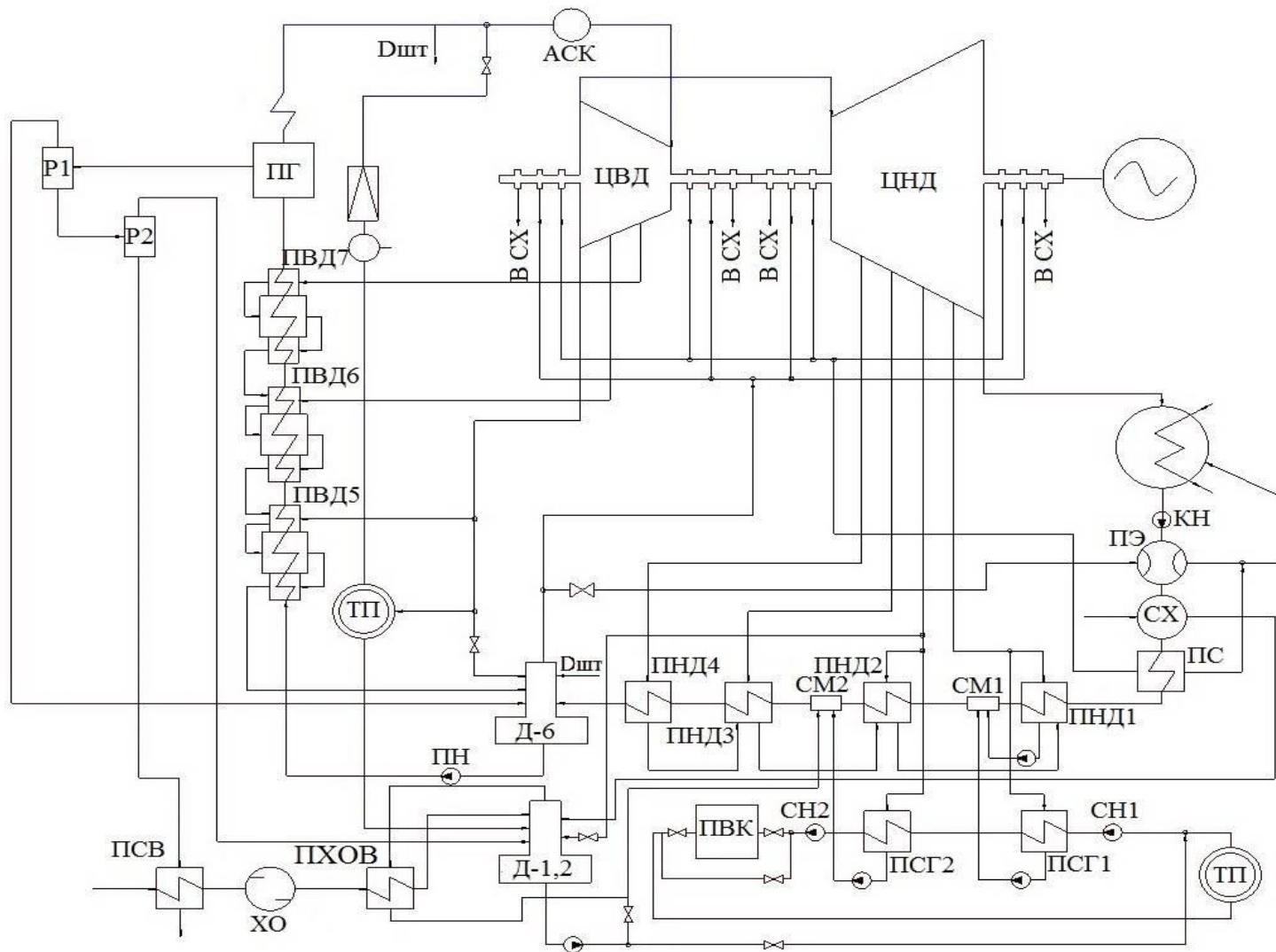


1 – упорный подшипник; 2 – передний опорный подшипник; 3 – входной патрубок компрессора; 4 – поворотный входной направляющий аппарат; 5 – лопатки компрессора; 6 – центральная стяжка ротора компрессора; 7 камера сгорания; 8 – средний подшипник; 9 – лопатки турбины; 10 – задний подшипник; 11 – выходной диффузор; 12 – задняя подвижная опора; 13 – рама; 14 – передняя неподвижная опора

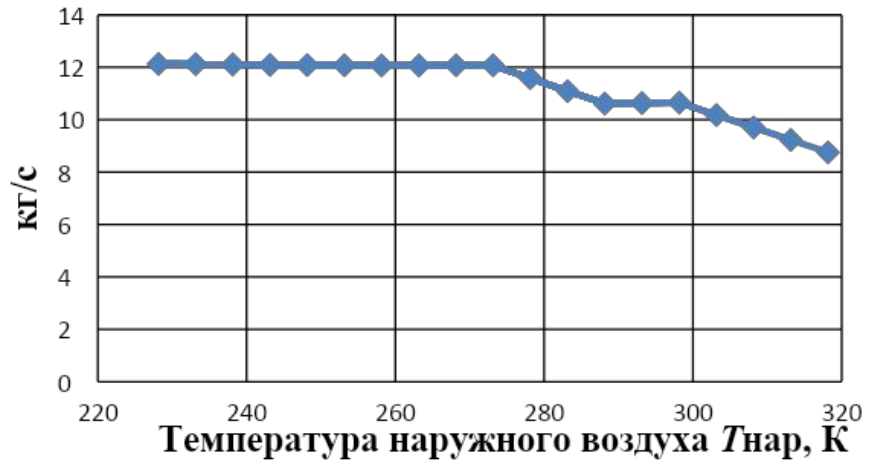
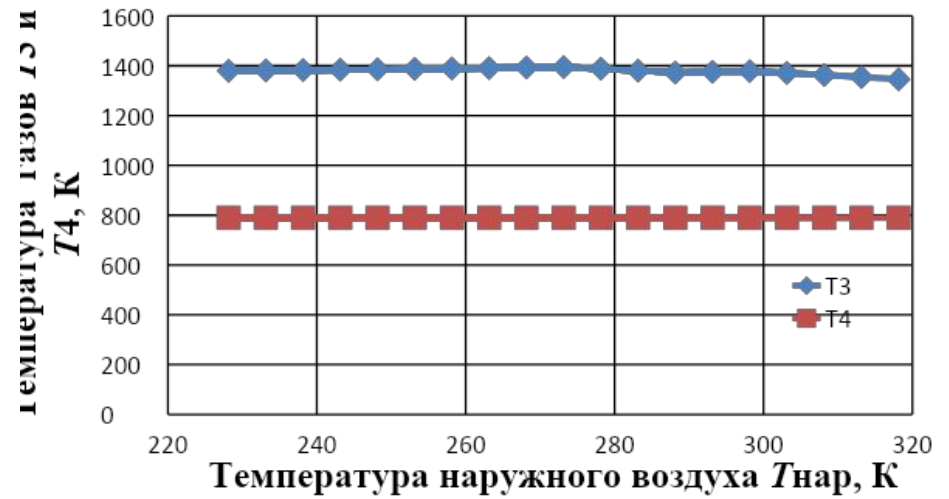
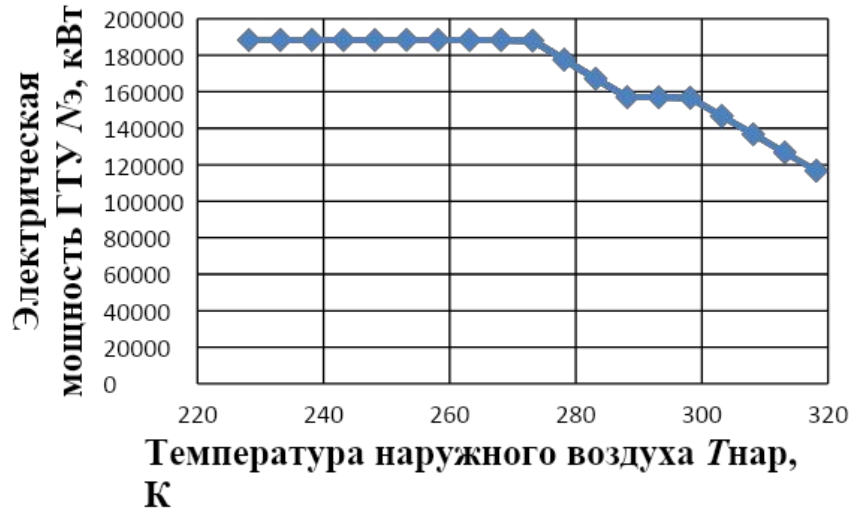
Продольный разрез турбоустановки ПТ-135/165-130/15



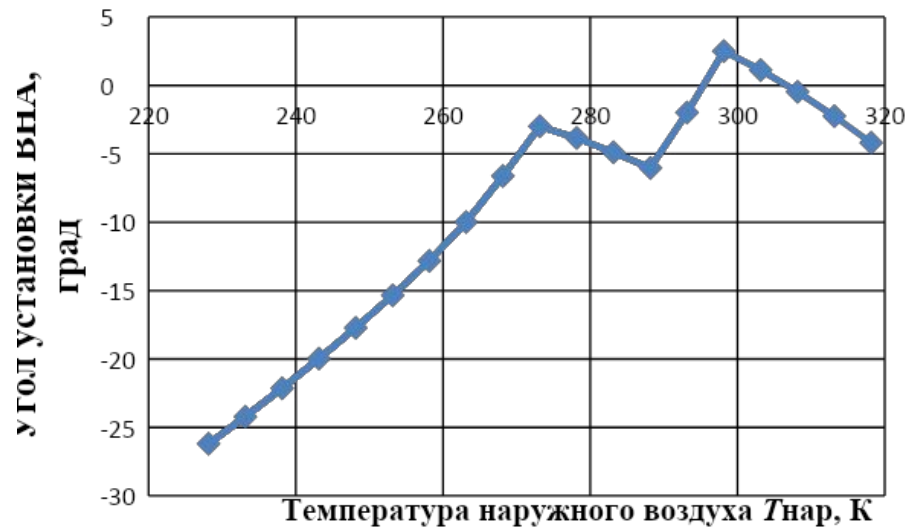
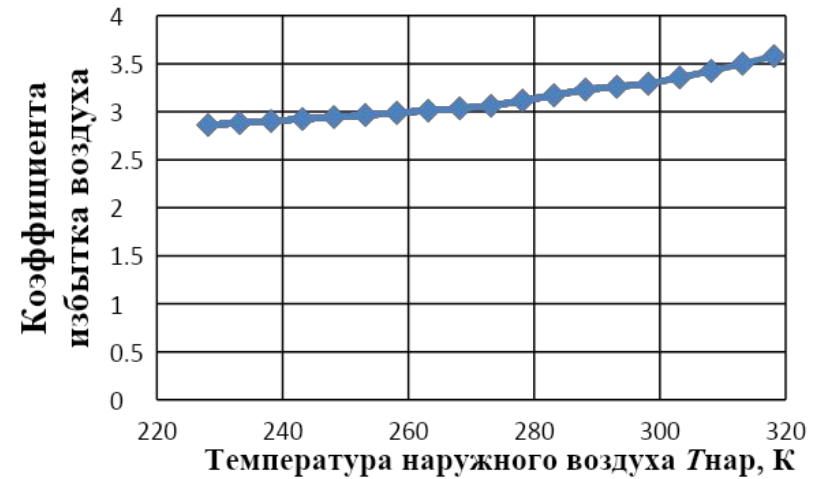
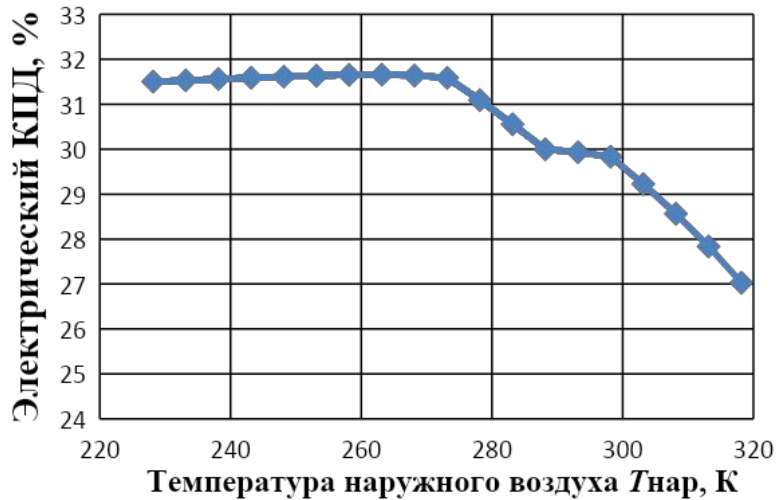
Принципиальная тепловая схема турбоустановки ПТ-135/165-130/15



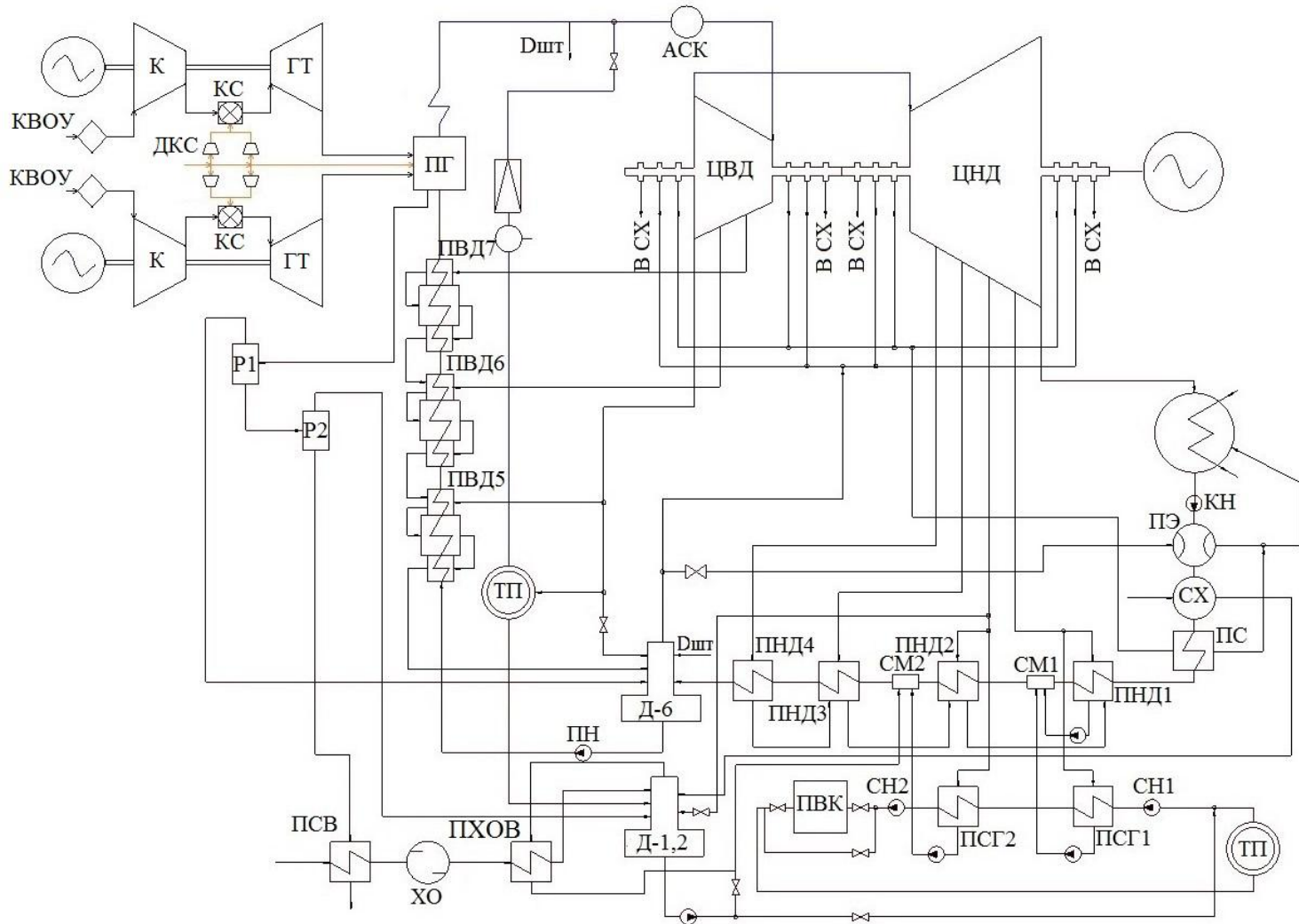
Климатические характеристики ГТЭ-150



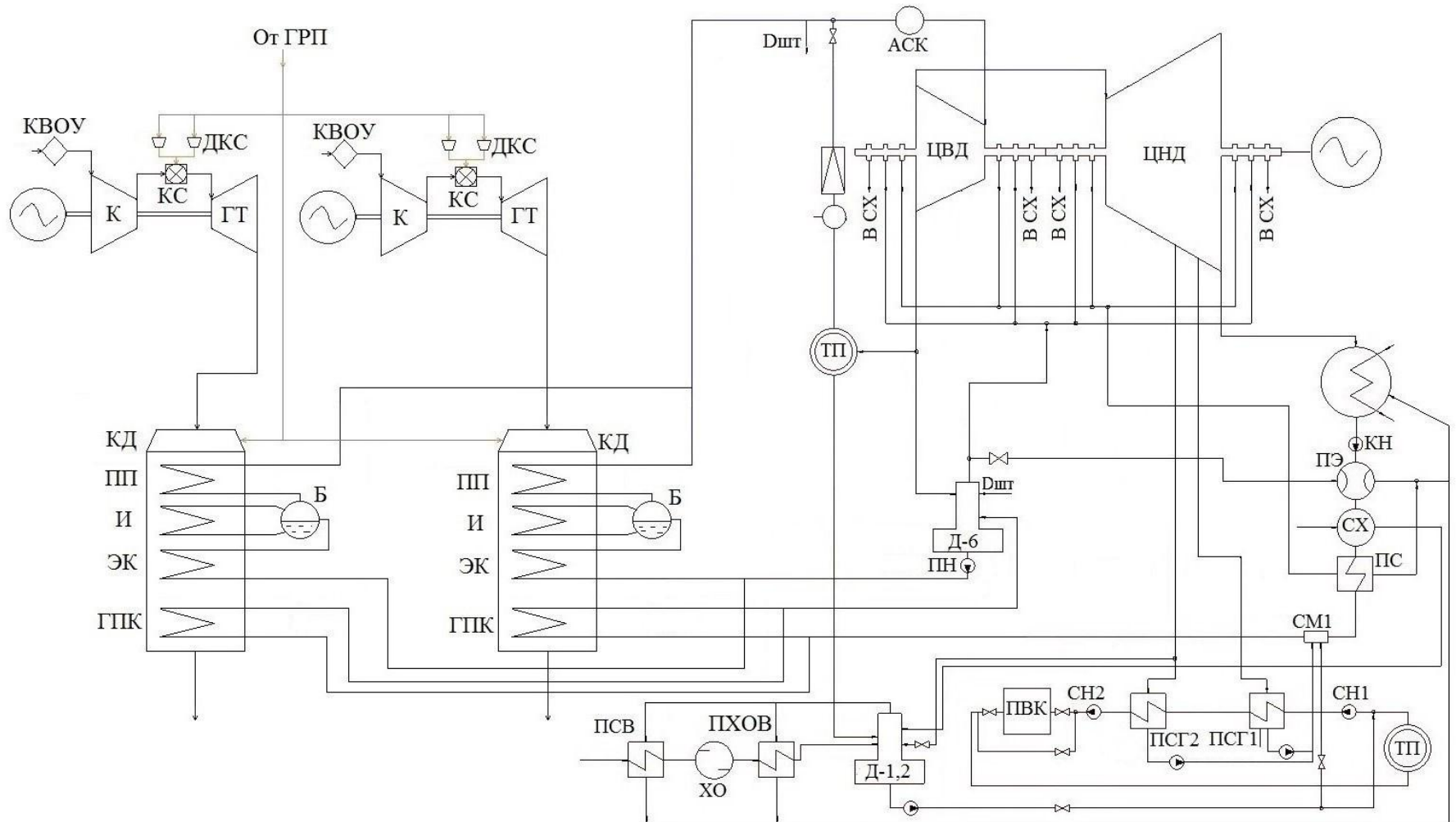
Климатические характеристики ГТЭ-150 (продолжение)



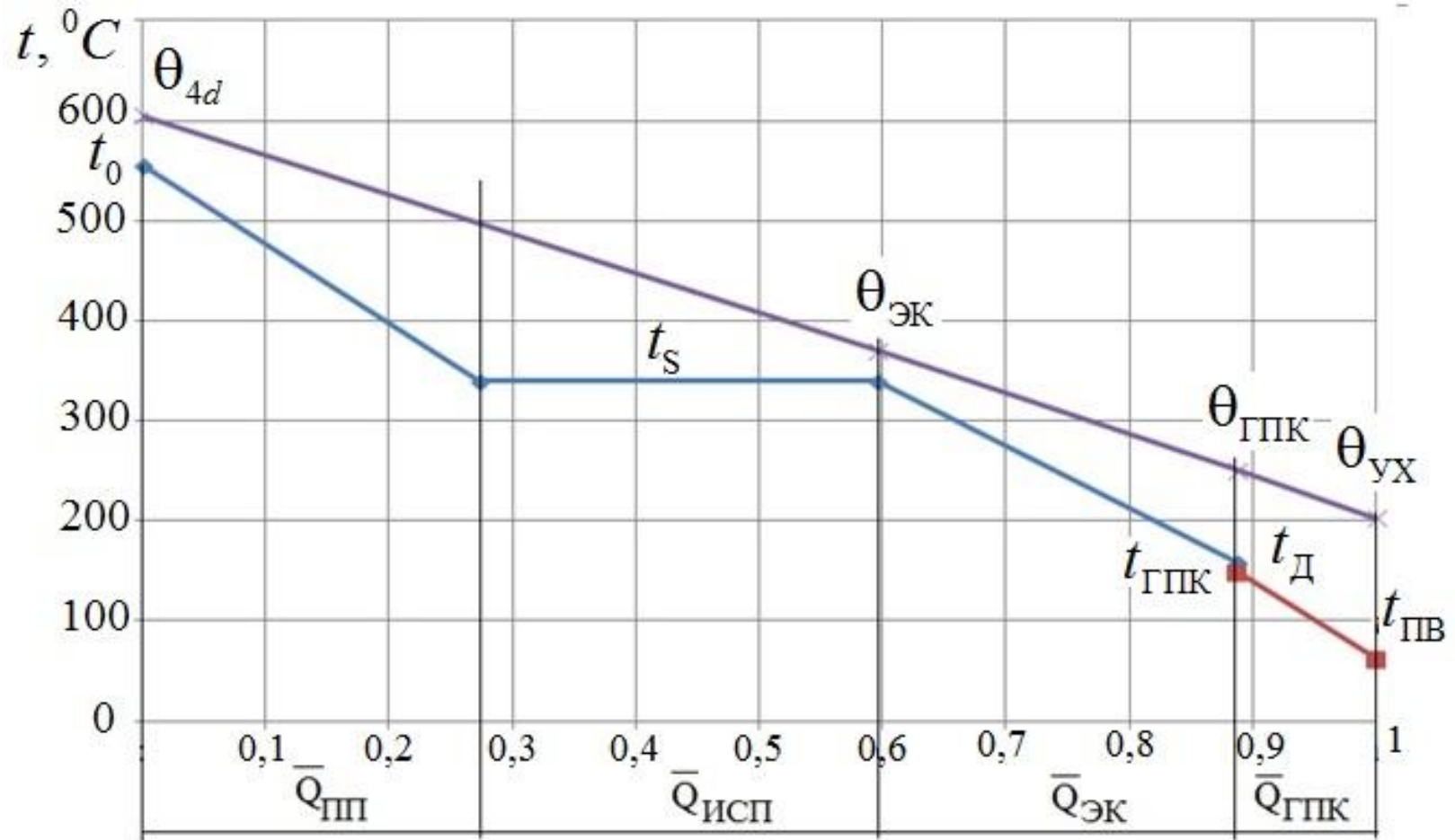
Принципиальная тепловая схема ПГУ сбросного типа с дожиганием топлива



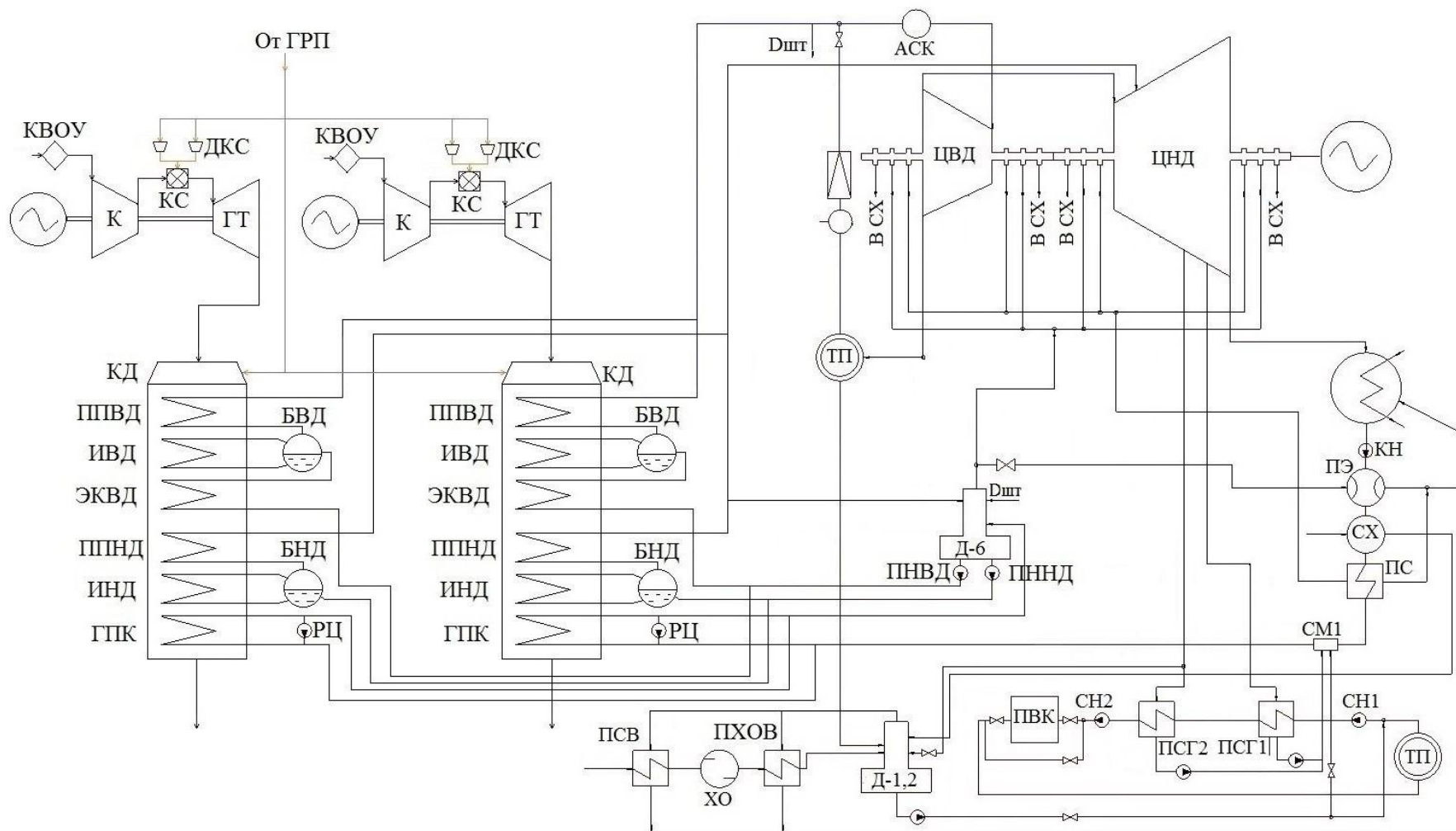
Принципиальная тепловая схема ПГУ с одноконтурным КУ с дожиганием топлива



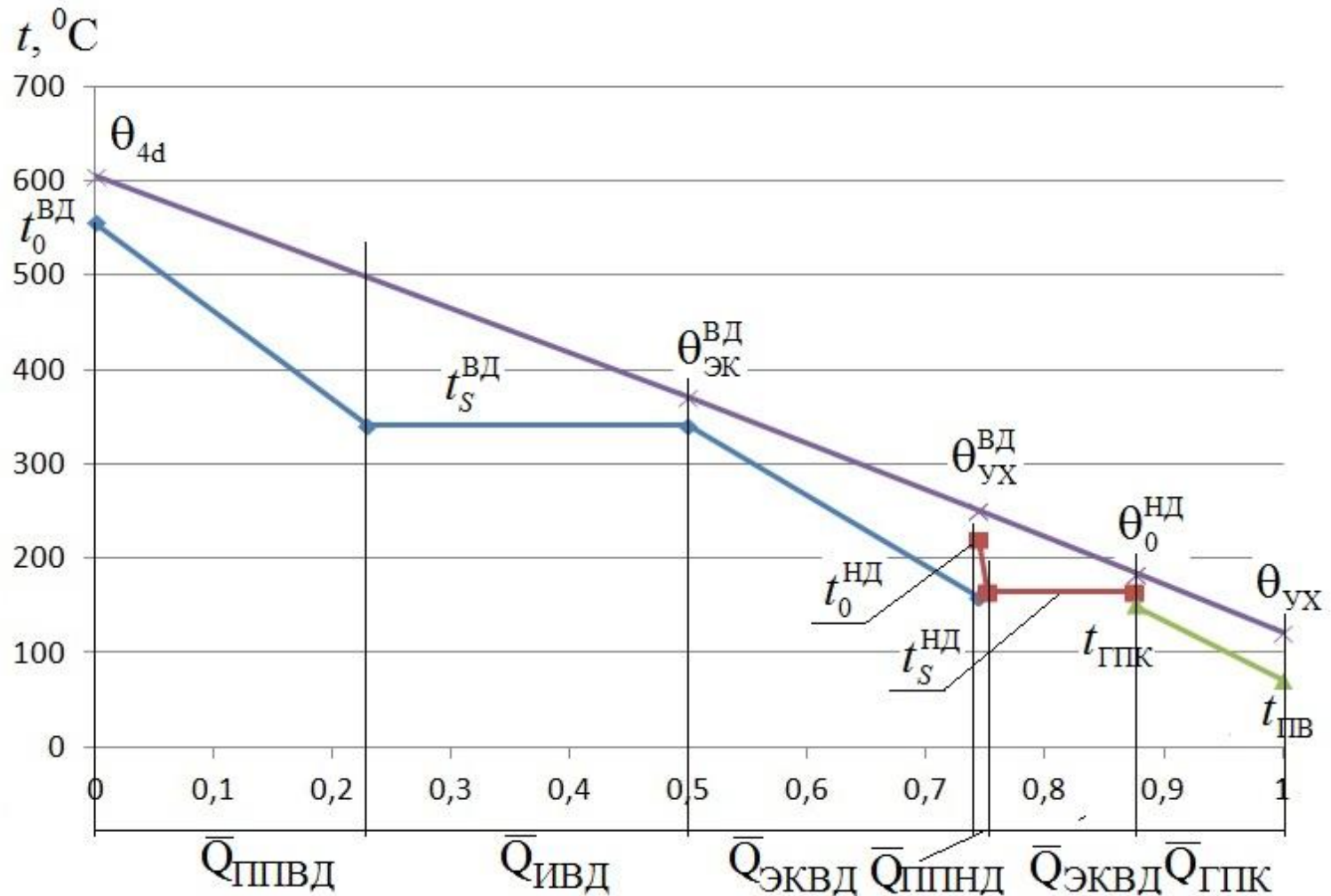
Q, t – диаграмма одноконтурного котла-утилизатора



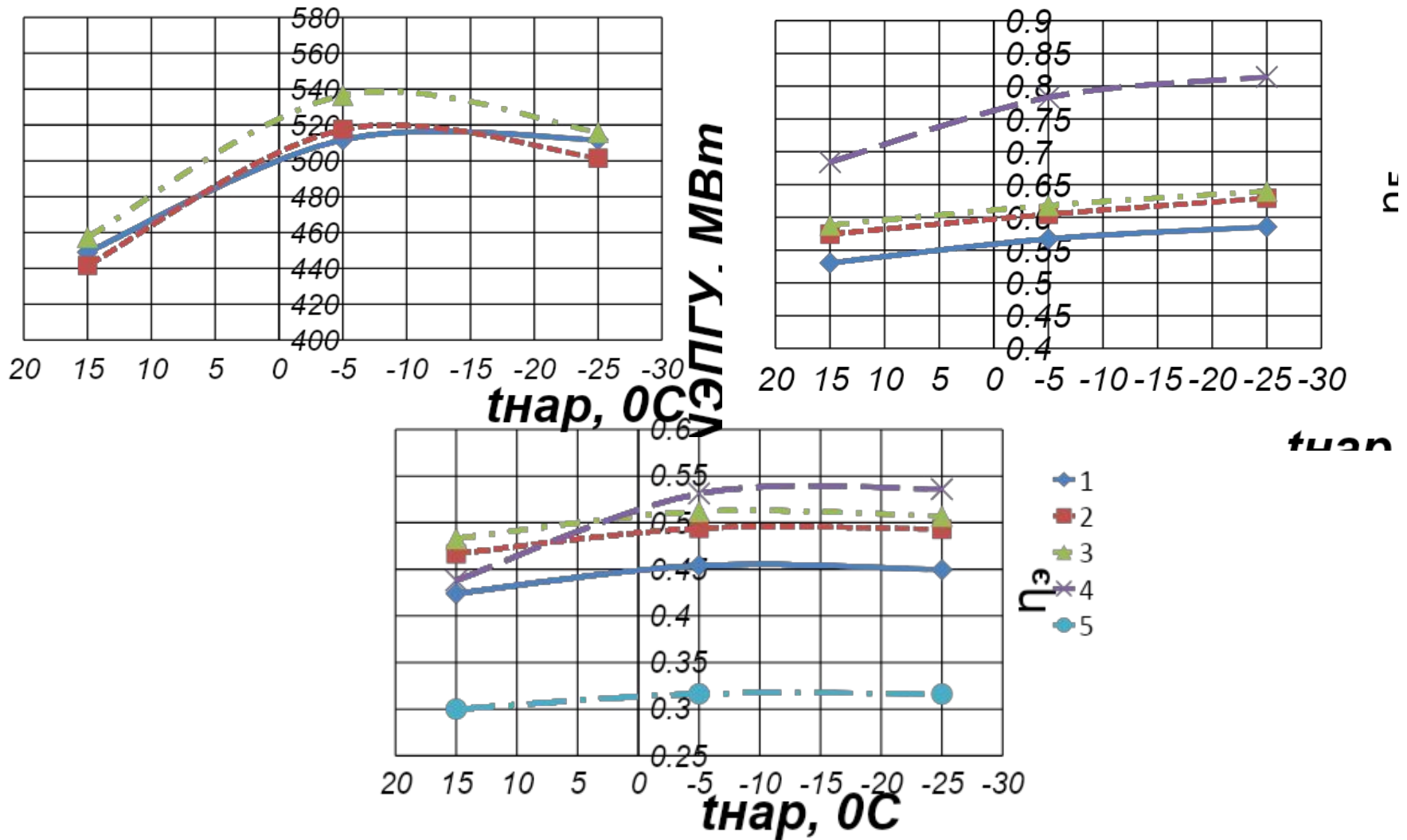
Принципиальная тепловая схема ПГУ с двухконтурным КУ с дожиганием топлива



Q, t – диаграмма двухконтурного котла-утилизатора

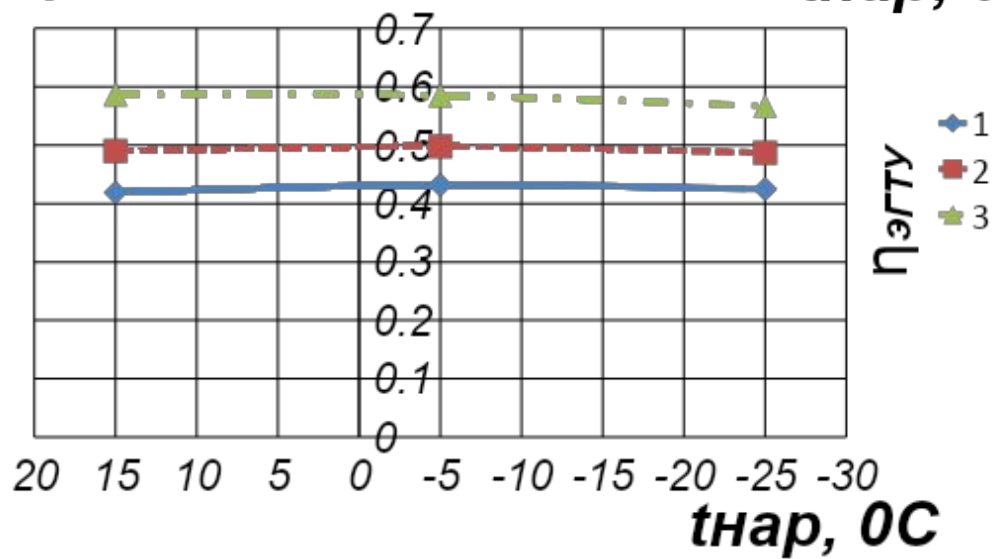
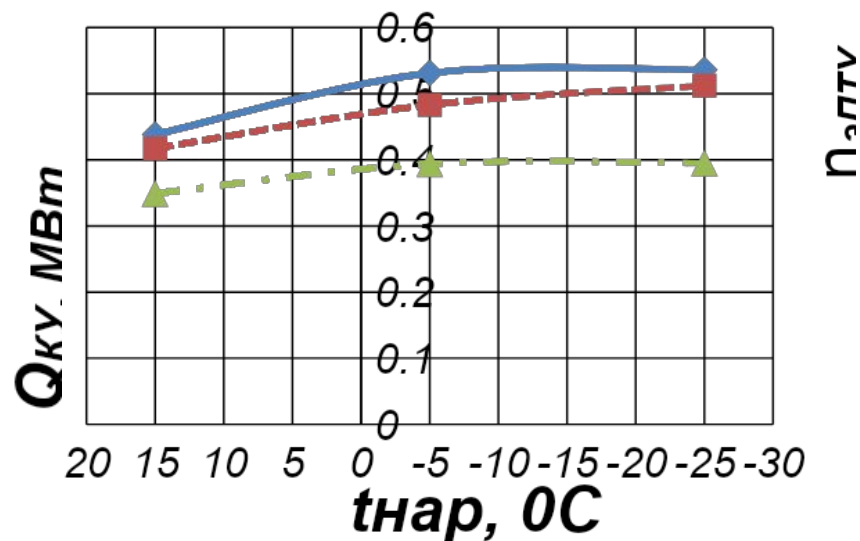
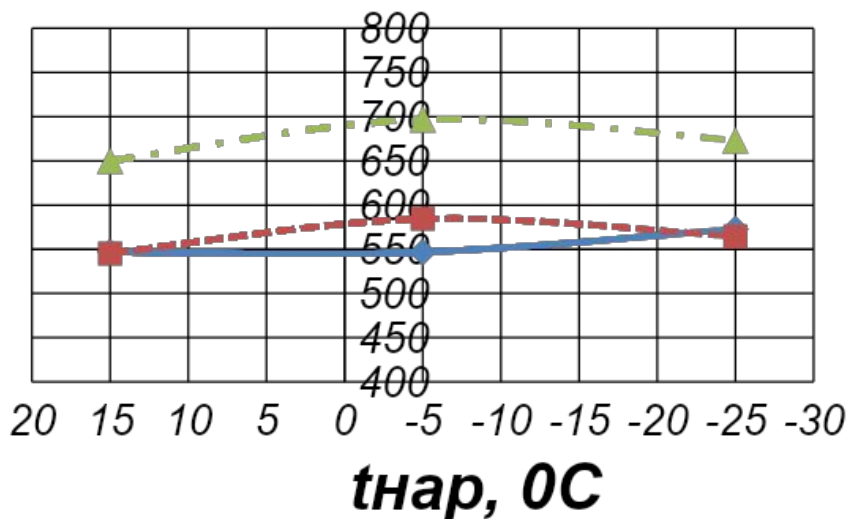


Зависимости технико-экономических показателей ПГУ от $t_{нар}$



1 – ПГУ сбросного типа; 2 – ПГУ с одноконтурным КУ; 3 – ПГУ с двухконтурным КУ;
4 – ПТУ; 5 – ГТУ;

Зависимости технико-экономические показатели ПГУ от $t_{нар}$ (продолжение)

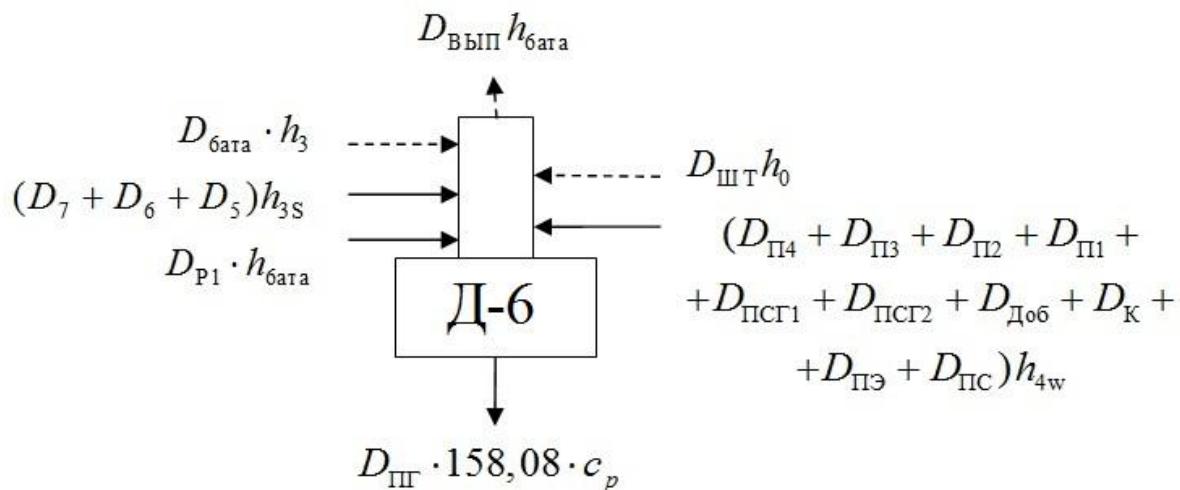


1 – ПГУ сбросного типа; 2 – ПГУ с одноконтурным КУ;

3 – ПГУ с двухконтурным КУ.

Уравнение теплового баланса для деаэратора Д-6
и формула расчета мощности турбоустановки

$$D_{\text{бара}} \cdot h_3 + (D_7 + D_6 + D_5)h'_3 + D_{\text{П1}} \cdot h_{\text{бара}} + D_{\text{ШТ}}h_0 + \\ + (D_{\text{П4}} + D_{\text{П3}} + D_{\text{П2}} + D_{\text{П1}} + D_{\text{ПСГ1}} + D_{\text{ПСГ2}} + D_{\text{До6}} + D_{\text{К}} + D_{\text{ПЭ}} + D_{\text{ПС}})h_{4w} = \\ = D_{\text{П}} \cdot 158,08 \cdot c_p + D_{\text{Вып}}h_{\text{бара}}.$$



$$\frac{N_{\text{Э}}}{\eta_{\text{М}}\eta_{\text{Г}}} = D_{\text{П7}}(h_0 - h_1) + D_{\text{П6}}(h_0 - h_2) + (D_{\text{П5}} + D_{\text{ПР}} + D_{\text{бара}})(h_0 - h_3) + \\ + D_{\text{П4}}(h_0 - h_4) + D_{\text{П3}}(h_0 - h_5) + (D_{\text{П2}} + D_{1,2\text{бара}} + D_{\text{ПСГ2}})(h_0 - h_6) + \\ + (D_{\text{П1}} + D_{\text{ПСГ1}})(h_0 - h_7) + D_{\text{К}}(h_0 - h_{\text{К}})$$

Выводы по работе

- Выполнен термодинамический расчет ГТЭ-150 в условиях ISO, а также расчет нагрузочных и климатических характеристик, результатом которых явились данные о параметрах состояния рабочего тела в основных точках цикла и показатели эффективности работы установки.
- Для ПТУ ПТ-135/165-139/15 составлен график тепловых нагрузок, рассчитаны значения внутренних относительных КПД отсеков, на основе чего выполнен расчет ее принципиальной тепловой схемы для трех режимов отопительной нагрузки.
- Выполнен расчет трех схем ПГУ, в результате которого получены значения технико-экономических показателей ПГУ.
- В целом эффективность базовой ПТУ (КПД «брутто») выше благодаря наличию теплового потребителя, тогда как КПД ГТУ относительно низкий. Однако эффективность по выработке электроэнергии у ПТУ выше только на режимах повышенной тепловой нагрузки.
- С повышением тепловой нагрузки КПД ПГУ «брутто» возрастает благодаря увеличению суммарного полезного отпуска энергии. Однако КПД ПГУ по выработке электроэнергии из трех рассчитанных режимов имеет максимум при $t_{\text{нар}} = -5^{\circ}\text{C}$, так как с дальнейшим понижением температуры наружного воздуха увеличивается расход топлива на ПВК, отрицательно влияющий на КПД установки.
- Среди рассмотренных типов ПГУ наиболее эффективной оказалась схема ПГУ с двухконтурным КУ благодаря наиболее полной утилизации теплоты уходящих газов ГТУ.
- В среде MS Excel была разработана программа расчета паротурбинных установок типа «ПТ»